

Оригинал в ф-нах (7), (17)

199  
б-5014/1000/45/11  
62

199

Том 45, Номер 11

ISSN 0033-8494

Ноябрь 2000



# РАДИОТЕХНИКА И ЭЛЕКТРОНИКА

Главный редактор  
Ю.В. Гуляев

<http://www.maik.rssi.ru>



“НАУКА”

МАИК “НАУКА/ИНТЕРПЕРИОДИКА”

400

## ЭФФЕКТИВНОСТЬ ОБНАРУЖЕНИЯ РАЗРЫВНОГО СЛУЧАЙНОГО РАДИОИМПУЛЬСА С НЕИЗВЕСТНЫМИ ВРЕМЕНЕМ ПРИХОДА И ЦЕНТРАЛЬНОЙ ЧАСТОТОЙ

© 2000 г. А. П. Трифонов, А. В. Захаров

Поступила в редакцию 25.10.99 г.

Получены асимптотические выражения для характеристик обнаружения флюктуирующего радиоимпульса, наблюдаемого на фоне белого шума. Определены потери в эффективности обнаружения вследствие незнания времени прихода и центральной частоты спектральной плотности радиоимпульса.

### ВВЕДЕНИЕ

Задача обнаружения импульсных радиосигналов с неизвестными параметрами на фоне помех часто встречается в радио- и гидролокации, навигации и связи, в системах синхронизации и управления [1, 2]. В ряде случаев радиосигналы, принимаемые на фоне случайных помех, сами оказываются случайными. Приемлемой математической моделью таких сигналов является разрывный случайный радиоимпульс [3–5]

$$s(t) = a(t)I[(t - \lambda_0)/\tau] \cos[v_0 t - \phi(t)] = \\ = \xi(t)I[(t - \lambda_0)/\tau], \quad (1)$$

где  $I(x) = 1$  при  $|x| < 1/2$ ;  $I(x) = 0$  при  $|x| \geq 1/2$ ;  $\lambda_0$  – время прихода;  $\tau$  – длительность импульса;  $\xi(t) = a(t)\cos[v_0 t - \phi(t)]$  – реализация стационарного центрированного узкополосного гауссовского случайного процесса со спектральной плотностью

$$G(\omega) = (\gamma/2)\{I[(v_0 - \omega)/\Omega] + I[(v_0 + \omega)/\Omega]\}, \quad (2)$$
$$v_0 > \Omega/2,$$

$a(t)$  и  $\phi(t)$  – огибающая и фаза гауссовского случайного процесса  $\xi(t)$ ;  $\gamma$  – максимальная величина;  $v_0$  – центральная частота;  $\Omega$  – ширина полосы частот спектральной плотности (2). Примерами случайного радиоимпульса могут быть отраженные локационные сигналы [5], радиоимпульсы, искаженные модулирующей помехой [6], сигналы в спектроскопии и астрономии [3, 7]. Кроме того, случайные сигналы (1) могут быть использованы в качестве шумовой импульсной несущей в системах передачи информации [8].

Задача обнаружения сигнала (1) с различными неизвестными параметрами рассмотрена в ряде работ. На основе метода максимального правдоподобия (МП) в [4] выполнен синтез алгоритма обнаружения случайного импульса (1) с неизвестным временем прихода и априори известной частотой, найдены характеристики эффективности

обнаружения. В работе [9] рассмотрен МП-обнаружитель сигнала (1) с неизвестной частотой и априори известным временем прихода. Однако кроме времени прихода может быть не известна и центральная частота (доплеровский сдвиг частоты) принимаемого сигнала. Это обычно обусловлено движением наблюдаемого объекта при его локации, одновременным использованием частотной и времязимпульсной модуляции в системах связи, движением передатчика и (или) приемника в системах связи и навигации [1, 2]. В работе [10] выполнены синтез и анализ алгоритма МП-обнаружения случайного импульса с неизвестными временем прихода и центральной частотой на фоне белого шума. Однако характеристики алгоритма [10] найдены в предположении, что моменты решающей статистики (РС) непрерывно дифференцируемы по неизвестным параметрам сигнала хотя бы дважды. Ниже показано, что производные моментов РС для случая МП-обнаружения радиоимпульса (1) имеют разрывы 1-го рода как по времени прихода, так и по частоте. Следовательно, радиоимпульс (1) относится к классу разрывных сигналов [11, 12], и для него нельзя использовать развитую в [10] методику расчета характеристик обнаружения.

Ниже на основе новой методики анализа найдены характеристики МП-обнаружения разрывного случайного радиоимпульса (1) с неизвестными временем прихода и центральной частотой, определены потери в эффективности обнаружения вследствие незнания параметров импульса.

### 1. АЛГОРИТМ ОБНАРУЖЕНИЯ И ХАРАКТЕРИСТИКИ РЕШАЮЩЕЙ СТАТИСТИКИ

Будем считать, что сигнал (1) наблюдается на фоне аддитивного гауссовского белого шума  $n(t)$  с односторонней спектральной плотностью  $N_0$ , причем сигнал и шум статистически не зависимы.

При наличии сигнала в наблюдаемых данных (гипотеза  $H_1$ ) обработка доступна реализация  $x(t) = s(t) + n(t)$ , а при отсутствии сигнала (гипотеза  $H_0$ ) – реализация  $x(t) = n(t)$ .

Для решения задачи обнаружения сигнала (1) с неизвестными временем прихода и центральной частотой воспользуемся методом МП [2, 11, 13]. Согласно этому методу, по реализации  $x(t)$  необходимо формировать логарифм функционала отношения правдоподобия  $L(\lambda, v)$  как функцию возможных значений  $\lambda$  и  $v$  в неизвестных времени прихода  $\lambda_0$  и центральной частоты  $v_0$  сигнала. Полагаем, что время корреляция случайных флюктуаций сигнала (1) значительно меньше его длительности, т.е. [4, 9]

$$\mu = \tau\Omega/2\pi \gg 1. \quad (3)$$

Тогда аналогично [5, 10] находим

$$L(\lambda, v) = qM(\lambda, v)/N_0(1+q) - \mu \ln(1+q), \quad (4)$$

$$q = \gamma/N_0,$$

$$M(\lambda, v) = \int_{\lambda-\tau/2}^{\lambda+\tau/2} \left[ \int_{-\infty}^{\infty} x(t') h(t-t', v) dt' \right]^2 dt, \quad (5)$$

где передаточная функция  $H(\omega, v)$ , соответствующая импульсной характеристике  $h(t, v)$ , удовлетворяет условию  $|H(\omega, v)|^2 = I[(v - \omega)/\Omega] + I[v + \omega/\Omega]$ .

Пусть неизвестные время прихода и частота импульса (1) принимают значения из интервалов  $\lambda_0 \in [\lambda_{\min}; \lambda_{\max}]$  и  $v_0 \in [v_{\min}; v_{\max}]$ . При этом алгоритм МП-обнаружения сигнала (1) сводится к сравнению с порогом  $h$  величины абсолютного (наибольшего) максимума РС  $M(\lambda, v)$  (5) в пределах априорной области  $\Lambda$ , задаваемой условиями  $\lambda \in [\lambda_{\min}; \lambda_{\max}]$ ,  $v \in [v_{\min}; v_{\max}]$ . Если порог  $h$  превышен, то принимается решение в пользу гипотезы  $H_1$  о наличии сигнала (1); если порог не превышен, то принимается решение в пользу гипотезы  $H_0$  об отсутствии сигнала. Величина порога  $h$  определяется в соответствии с выбранным критерием оптимальности обнаружения [1, 2, 13].

Для определения характеристик алгоритма обнаружения рассмотрим свойства РС (5). Функционал (5) является асимптотически (при  $\mu \rightarrow \infty$ ) гауссовским случайнм полем. Поэтому при выполнении (3) ограничимся рассмотрением первых двух моментов этого поля. Обозначим  $S_i(\lambda, v) = \langle M(\lambda, v) | H_i \rangle$  регулярные, а  $N_i(\lambda, v) = M(\lambda, v) - \langle M(\lambda, v) | H_i \rangle$  шумовые составляющие РС (5) при справедливости гипотезы  $H_i$ . Здесь усреднение выполняется по реализациям  $x(t)$  при фиксированных  $\lambda_0$  и  $v_0$  [11, 13]. Учитывая условие (3), для регулярных составляющих получаем выражения

$$S_i(\lambda, v) = iA_1 C(\eta, \eta_0) C(\kappa, \kappa_0) + A_0, \quad i = 0; 1,$$

$$C(t_1, t_2) =$$

$$= \begin{cases} 1 - |t_1 - t_2| & \text{при } |t_1 - t_2| < 1, \\ 0 & \text{при } |t_1 - t_2| \geq 1, \end{cases} \quad A_1 = \mu q N_0, \quad (6)$$

где  $\eta = \lambda/\tau$ ;  $\eta_0 = \lambda_0/\tau$ ;  $\kappa = v/\Omega$ ;  $\kappa_0 = v_0/\Omega$  – нормированные значения времени прихода и частоты радиоимпульса. Аналогично (6) находим первые два момента шумовых составляющих:

$$\langle N_i(\lambda, v) \rangle = 0, \quad i = 0; 1,$$

$$\langle N_i(\lambda_1, v_1) N_i(\lambda_2, v_2) \rangle \equiv K_i(\lambda_1, v_1, \lambda_2, v_2) =$$

$$= D_0 C(\eta_1, \eta_2) C(\kappa_1, \kappa_2) +$$

$$+ i D_1 R(\eta_1, \eta_2, \eta_0) R(\kappa_1, \kappa_2, \kappa_0), \quad (7)$$

$$D_0 = \mu N_0^2, \quad D_1 = \mu q (1+q) N_0^2,$$

$$R(t_1, t_2, t_0) =$$

$$= \begin{cases} 1 - |t_1 - t_2| - \min(|t_1 - t_0|, |t_2 - t_0|), \\ (t_1 - t_0)(t_2 - t_0) \geq 0, \\ 1 - |t_1 - t_2|, \quad (t_1 - t_0)(t_2 - t_0) < 0, \\ \text{при } \max(|t_1 - t_2|, |t_1 - t_0|, |t_2 - t_0|) < 1, \\ 0 \quad \text{при } \max(|t_1 - t_2|, |t_1 - t_0|, |t_2 - t_0|) \geq 1, \end{cases}$$

где  $\eta_j = \lambda_j/\tau$ ;  $\kappa_j = v_j/\Omega$ ,  $j = 1, 2$ .

Из выражений (6) следует, что регулярная составляющая  $S_1(\lambda, v)$  достигает абсолютного максимума в точке  $(\lambda_0, v_0)$  истинных значений времени прихода и частоты принимаемого сигнала. Кроме того, реализации шумовой составляющей  $N_1(\lambda, v)$  непрерывны с вероятностью единица. Поэтому выходное отношение сигнал/шум (ОСШ) для МП-алгоритма обнаружения сигнала (1) запишем в виде [4, 9, 10, 13]

$$z^2 = [S_1(\lambda_0, v_0) - A_0]^2 / \langle N_1^2(\lambda_0, v_0) \rangle = \mu q^2 / (1+q)^2. \quad (8)$$

Отметим, что моменты (6), (7) функционала (5) совпадают с соответствующими моментами РС в работе [10], если там полагать  $g(x) = f(x) = I(x)$ . Однако характеристики обнаружения получены в [10] в предположении, что регулярные составляющие и корреляционные функции шумовых составляющих РС  $M(\lambda, v)$  дважды непрерывно дифференцируемы по  $\lambda$  и  $v$  в точке  $(\lambda_0, v_0)$ . Из формул (6), (7) следует, что производные регулярной составляющей  $S_1(\lambda, v)$  и корреляционных функций шумовых составляющих  $N_1(\lambda, v)$  и  $N_0(\lambda, v)$  имеют разрывы 1-го рода в точке  $(\lambda_0, v_0)$ . Это не позволяет использовать известные методы анализа для определения характеристик МП-алгоритма обнаружения разрывного радиоимпульса (1).

## 2. РАСЧЕТ ВЕРОЯТНОСТИ ЛОЖНОЙ ТРЕВОГИ

Эффективность алгоритмов обнаружения сигналов характеризуется вероятностями ошибок 1- и 2-го родов, т.е. вероятностью ложной тревоги (ВЛТ)  $\alpha$  и вероятностью пропуска сигнала (ВПС)  $\beta$  соответственно [1, 2, 11, 13].

Получим вначале выражение для ВЛТ  $\alpha$ . Пусть справедлива гипотеза  $H_0$  об отсутствии сигнала в наблюдаемой реализации  $x(t)$ . Согласно (6), (7), при выполнении условия (3), обеспечивающего приближенный гауссовский характер распределения случайного поля  $M(\lambda, v)$ , ВЛТ можно представить как

$$\alpha = P[\sup_{\lambda, v \in \Lambda} M(\lambda, v) > h | H_0] \approx 1 - F_N(u), \quad (9)$$

где  $u = (h - A_0) / \sqrt{D_0}$  – нормированный порог;  $F_N(u) = P[\sup_{\eta, \kappa \in \Theta} r_0(\eta, \kappa) < u]$  – функция распределения абсолютного максимума однородного центрированного гауссова случайного поля  $r_0(\eta, \kappa)$  с корреляционной функцией  $R_0(\eta_1 - \eta_2, \kappa_1 - \kappa_2) = \langle r_0(\eta_1, \kappa_1) r_0(\eta_2, \kappa_2) \rangle = C(\eta_1, \eta_2) C(\kappa_1, \kappa_2)$ ;  $\Theta$  – область возможных значений параметров  $\eta$  и  $\kappa$ , задаваемая условиями  $\eta \in [\eta_{\min}; \eta_{\max}]$ ,  $\kappa \in [\kappa_{\min}; \kappa_{\max}]$ ,  $\eta_{\min} = \lambda_{\min}/\tau$ ,  $\eta_{\max} = \lambda_{\max}/\tau$ ,  $\kappa_{\min} = v_{\min}/\Omega$ ,  $\kappa_{\max} = v_{\max}/\Omega$ . У корреляционной функции поля  $r_0(\eta, \kappa)$  не существует второй производной при  $\eta_1 = \eta_2$ ,  $\kappa_1 = \kappa_2$ , так что  $r_0(\eta, \kappa)$  является недифференцируемым случайнм полем. В отличие от дифференцируемых гауссовых полей [14] конструктивная методика расчета распределения  $F_N(u)$  абсолютного максимума недифференцируемого поля не известна. При этом для дифференцируемых гауссовых полей удается найти только асимптотически точные (с ростом порога  $u$ ) выражения для распределения абсолютного максимума поля [10, 13, 14].

В ряде работ (см., например, [5, 15]) для приближенного расчета ВЛТ используется метод, основанный на замене непрерывной функции  $M(\lambda, v)$  ее дискретными значениями, взятыми в отдельных точках априорной области  $\Lambda$ , так что значения функции  $M(\lambda, v)$  в этих точках статистически не зависимы.

Введем обозначение  $m_\eta = \eta_{\max} - \eta_{\min} = (\lambda_{\max} - \lambda_{\min})/\tau$  и  $m_\kappa = \kappa_{\max} - \kappa_{\min} = (v_{\max} - v_{\min})/\Omega$ . Параметр  $m_\eta$  определяет число сигналов (1), которые могут быть размещены на интервале времени  $[\lambda_{\min}, \lambda_{\max}]$ , а параметр  $m_\kappa$  – число сигналов (1), которые могут быть размещены в диапазоне частот  $[v_{\max}; v_{\min}]$ . Соответственно,  $m = m_\eta m_\kappa$  определяет число независимых отсчетов поля  $r_0(\eta, \kappa)$  в априорной области возможных значений  $\eta$  и  $\kappa$ .

Воспользовавшись методикой [5, 15], находим приближенное выражение для ВЛТ (9):

$$\alpha_m = 1 - (1 - \alpha_0)^m, \quad (10)$$

где  $\alpha_0 = 1 - F_N(u)$  – ВЛТ при обнаружении сигнала (1) с априори известными параметрами;  $\Phi(x) = \int_{-\infty}^x \exp(-t^2/2) dt / \sqrt{2\pi}$  – интеграл вероятности.

Формула (10) в общем случае дает заниженные значения для ВЛТ, так как для получения (10) непрерывная реализация функционала  $M(\lambda, v)$  заменяется на его независимые дискретные значения. При этом погрешность формулы (10) не известна.

Получим асимптотически точные (с ростом порога  $u$ ) выражения для ВЛТ (9). Будем считать порог  $u$  достаточно большим, так что вероятность  $F_N(u)$  непревышения этого порога реализацией однородного гауссова поля  $r_0(\eta, \kappa)$  определяется только локальными свойствами его корреляционной функции [13, 16, 17]. При  $\delta_N = \max(|\eta_1 - \eta_2|, |\kappa_1 - \kappa_2|) \rightarrow 0$  корреляционная функция поля  $r_0(\eta, \kappa)$  допускает асимптотическое представление:

$$R_0(\eta_1 - \eta_2, \kappa_1 - \kappa_2) = B_0(\eta_1 - \eta_2) + B_0(\kappa_1 - \kappa_2) + o(\delta_N), \quad (11)$$

$$B_0(t_1 - t_2) = \begin{cases} 1/2 - |t_1 - t_2| & \text{при } |t_1 - t_2| < 1/2, \\ 0 & \text{при } |t_1 - t_2| \geq 1/2. \end{cases} \quad (12)$$

Обозначим  $r_{10}(\eta)$  и  $r_{20}(\kappa)$  статистически не зависимые центрированные гауссовые стационарные случайные процессы с корреляционными функциями  $B_0(\eta_1 - \eta_2)$  и  $B_0(\kappa_1 - \kappa_2)$  (12) соответственно. Из формул (11), (12) следует, что корреляционные функции гауссовых полей  $r_0(\eta, \kappa)$  и  $r_{10}(\eta) + r_{20}(\kappa)$  совпадают при  $\delta_N \rightarrow 0$ . Поэтому при больших значениях  $u$  вероятность (9) можно приближенно записать в виде

$$\alpha \approx P[\sup_{\eta \in [\eta_{\min}; \eta_{\max}]} r_{10}(\eta) + \sup_{\kappa \in [\kappa_{\min}; \kappa_{\max}]} r_{20}(\kappa) > u] = \int_{-\infty}^{\infty} [1 - F_{10}(u - x)] W_{20}(x) dx, \quad (13)$$

где  $F_{10}(x) = P[\sup_{\eta \in [\eta_{\min}; \eta_{\max}]} r_{10}(\eta) < x]$ ,  $F_{20}(x) = P[\sup_{\kappa \in [\kappa_{\min}; \kappa_{\max}]} r_{20}(\kappa) < x]$  – функции распределения;  $W_{20}(x) = dF_{20}(x)/dx$  – плотность вероятности абсолютных максимумов случайных процессов  $r_{10}(\eta)$  и  $r_{20}(\kappa)$ .

Точные выражения для функций распределения  $F_{10}(x)$ ,  $i = 1, 2$ , найти не удается. Покажем, что для приближенного вычисления интеграла (13) при больших значениях  $u$  можно использовать асимптотически точные при  $x \rightarrow \infty$  аппроксимации функций  $F_{10}(x)$  и  $F_{20}(x)$ .

Введем функции  $\varphi_1(u) = \rho_1 u$ ,  $\varphi_2(u) = \rho_2 u$ , где  $\rho_1$  и  $\rho_2$  – не зависящие от  $u$  постоянные, удовлетворяющие условиям  $0 < \rho_1 < 1 - 1/\sqrt{2}$ ,  $1/\sqrt{2} < \rho_2 < 1$ , причем  $\rho_1 < \rho_2$  и  $\varphi_1(u) < \varphi_2(u)$ . Вероятность  $\alpha$  (13) представим в виде  $\alpha = \alpha_{00} + \alpha_1 + \alpha_2$ , где  $\alpha_1 = J[-\infty, \varphi_1(u)]$ ;  $\alpha_2 = J[\varphi_2(u), \infty]$ ;  $\alpha_{00} = J[\varphi_1(u), \varphi_2(u)]$ ;  $J(u_1, u_2) = \int_{u_1}^{u_2} [1 - F_{10}(u-x)] W_{20}(x) dx$ . Покажем, что при  $u \rightarrow \infty$  вклад величин  $\alpha_1$  и  $\alpha_2$  в интеграл (13) пренебрежимо мал.

В качестве оценки снизу для ВЛТ  $\alpha$  используем величину  $\alpha_m$  (10). При  $u \rightarrow \infty$  формула (10) несколько упрощается и принимает вид  $\alpha_m \approx m_\eta m_\kappa \alpha_0$ . Учитывая асимптотическое поведение интеграла вероятности  $\Phi(u)$ , при  $u \rightarrow \infty$  получаем  $\alpha_m \rightarrow m_\eta m_\kappa \exp(-u^2/2)/u\sqrt{2\pi}$ . Так как  $0 \leq F_{10}(x) \leq 1$ ,  $0 \leq W_{20}(x) \leq C_m$ , где  $C_m = W_{20}(x_m)$  – не зависящая от  $u$  постоянная, а  $x_m$  – мода распределения  $W_{20}(x)$ , оценками сверху для интегралов  $\alpha_2$  и  $\alpha_1$  являются величины  $\alpha_{20} = \int_{\varphi_2(u)}^{\infty} W_{20}(x) dx = 1 - F_{20}[\varphi_2(u)]$  и  $\alpha_{10} = C_m \int_{-\infty}^{\varphi_1(u)} [1 - F_{10}(u-x)] dx = C_m \int_{u-\varphi_1(u)}^{\infty} [1 - F_{10}(x)] dx$  соответственно. Здесь  $\varphi_2(u) \rightarrow \infty$  и  $u - \varphi_1(u) \rightarrow \infty$  при  $u \rightarrow \infty$ , поэтому для описания асимптотического (при  $u \rightarrow \infty$ ) поведения оценок  $\alpha_{20}$  и  $\alpha_{10}$  можно использовать аппроксимации функций  $F_{10}(x)$  и  $F_{20}(x)$ , асимптотически точные при  $x \rightarrow \infty$ . Следуя [4, 9, 10, 13], будем считать, что априорная неопределенность относительно времени прихода и частоты радиоимпульса велика, т.е.

$$m_\eta \gg 1, \quad m_\kappa \gg 1. \quad (14)$$

Аналогично [11, 13] при выполнении (14) находим аппроксимации

$$F_{10}(x) = \\ = \begin{cases} \exp[-2m_\eta x \exp(-x^2)/\sqrt{\pi}] & \text{при } x \geq 1/\sqrt{2}, \\ 0 & \text{при } x < 1/\sqrt{2}, \end{cases} \quad (15)$$

$$F_{20}(x) = \\ = \begin{cases} \exp[-2m_\kappa x \exp(-x^2)/\sqrt{\pi}] & \text{при } x \geq 1/\sqrt{2}, \\ 0 & \text{при } x < 1/\sqrt{2}, \end{cases}$$

точность которых возрастает с увеличением  $m_\eta$ ,  $m_\kappa$  и  $x$ . Формулы (15) можно несколько упростить, если считать, что величины  $m_\eta$  и  $m_\kappa$  (14) ограничены сверху, хотя и являются большими. Тогда из (15) получим менее точные, но более простые выражения:

$$F_{10}(x) \approx 1 - 2m_\eta x \exp(-x^2)/\sqrt{\pi}, \quad (16)$$

$$F_{20}(x) \approx 1 - 2m_\kappa x \exp(-x^2)/\sqrt{\pi},$$

справедливые при весьма больших значениях  $x$ . Используя (16), находим, что  $\alpha_{20} \rightarrow 2m_\kappa \varphi_2(u) \times \exp[-\varphi_2^2(u)/\sqrt{\pi}]$ ;  $\alpha_{10} \rightarrow m_\eta C_m \exp\{-[u - \varphi_1(u)]^2/\sqrt{\pi}\}$  при  $u \rightarrow \infty$ . Так как  $\varphi_2^2(u) > u^2/2$ ,  $[u - \varphi_1(u)]^2 > u^2/2$ , то  $\alpha_{20} = o(\alpha_m)$ ;  $\alpha_{10} = o(\alpha_m)$  при  $u \rightarrow \infty$ . Следовательно,  $\alpha_1 = o(\alpha)$ ;  $\alpha_2 = o(\alpha)$  и  $\alpha \rightarrow \alpha_{00}$  при  $u \rightarrow \infty$ . Для нахождения интеграла  $\alpha_{00} = J[\varphi_1(u), \varphi_2(u)]$  необходимо вычислить функции  $F_{10}(y)$  и  $W_{20}(x)$  при  $y \in [u - \varphi_2(u); u - \varphi_1(u)]$ ,  $x \in [\varphi_1(u); \varphi_2(u)]$ . Так как  $\varphi_1(u) \rightarrow \infty$  и  $u - \varphi_2(u) \rightarrow \infty$  при  $u \rightarrow \infty$ , для приближенного вычисления  $\alpha_{00}$  при больших значениях  $x$  и достаточно использовать аппроксимации (15) или (16) функций  $F_{10}(x)$  и  $F_{20}(x)$ , асимптотически точные при  $x \rightarrow \infty$ . Поскольку вклад величин  $\alpha_1$  и  $\alpha_2$  в интеграл (13) с ростом порога  $u$  становится пренебрежимо мал, пределы интегрирования  $[\varphi_1(u), \varphi_2(u)]$  при вычислении  $\alpha_{00}$  можно заменить на бесконечные.

Подставляя (15) в (13), получаем

$$F_N(u) = \exp\{-\sqrt{2/\pi}(m_\kappa \exp(-1/2) + \\ + m_\eta(u\sqrt{2}-1)\exp(-(u\sqrt{2}-1)^2/2))\} + \\ + \sqrt{2/\pi}m_\kappa \int_1^{u\sqrt{2}-1} (x^2-1)\exp\{-x^2/2\} - \\ - \sqrt{2/\pi}(m_\eta x \exp(-x^2/2) + \\ + m_\kappa(u\sqrt{2}-x)\exp(-(u\sqrt{2}-x)^2/2)) \} dx \quad (17)$$

при  $u > \sqrt{2}$  и  $F_N(u) = 0$  при  $u < \sqrt{2}$ . Используя в (13) более простые, но менее точные аппроксимации (16), находим упрощенную формулу для ВЛТ  $\alpha$ , справедливую при весьма больших  $u$ :

$$\alpha \approx m_\eta m_\kappa u(u^2-3)\exp(-u^2/2)/\sqrt{2\pi}. \quad (18)$$

Точность формул (17), (18) возрастает с увеличением  $u$ ,  $m_\eta$ ,  $m_\kappa$  и  $\mu$ . При этом, чем меньшие значения принимает ВЛТ  $\alpha$ , тем больше должен быть параметр  $\mu$  (3). Последнее условие необходимо для достижения достаточной точности гауссовой аппроксимации распределения случайного поля (5).

Сравним асимптотические выражения (9), (17) и (18) для ВЛТ  $\alpha$  с соответствующим выражением (10), полученным известным методом дискретизации РС [5, 15]. При  $u \rightarrow \infty$ , когда  $\alpha_m \approx (m_\eta m_\kappa u\sqrt{2\pi})\exp(-u^2/2)$ , получаем  $\alpha/\alpha_m \approx u^2(u^2-3)$ . Таким образом, расчет ВЛТ по формуле (10) при больших порогах  $u$  приводит к значениям  $\alpha$ , в  $u^4$  раз меньшим, чем расчет по формулам (9), (17), (18). При этом точность формул (17), (18) растет с увеличением  $u$ , а погрешность формулы (10) не

известна. На рис. 1 сплошными линиями показана зависимость ВЛТ от нормированного порога  $u$ , рассчитанная по формулам (9), (17), штриховыми линиями — по формуле (18), а штрихпунктирными — по формуле (10). Кривые 1 соответствуют величинам  $m_\eta = m_\kappa = 10$ , кривые 2 —  $m_\eta = m_\kappa = 3$ . Из рис. 1 следует, что формула (10) дает существенно заниженные значения для ВЛТ по сравнению с (9), (17), (18). При этом погрешность упрощенной формулы (18) относительно более точных формул (9), (17) быстро уменьшается с увеличением  $u$  (уменьшением  $\alpha$ ). Формула (18) хорошо аппроксимирует зависимость  $\alpha(u)$  (9), (17) уже при  $\alpha < 0,1$ .

### 3. РАСЧЕТ ВЕРОЯТНОСТИ ПРОПУСКА СИГНАЛА

Получим теперь выражение для ВПС  $\beta$  при обнаружении радиосигнала (1) с неизвестными временем прихода и частотой. Будем считать, что справедлива гипотеза  $H_1$  о наличии сигнала. Согласно определению,  $\beta = P[\sup_{\lambda, v \in \Lambda} M(\lambda, v) < h | H_1]$ .

Разобъем область  $\Lambda$  возможных значений времени прихода и центральной частоты импульса (1) на две подобласти: сигнальную подобласть  $\Lambda_s$ , задаваемую условиями  $\lambda \in [\lambda_0 - \tau; \lambda_0 + \tau]$ ,  $v \in [v_0 - \Omega; v_0 + \Omega]$ , и шумовую  $\Lambda_n$ , являющуюся дополнением подобласти  $\Lambda_s$  до области  $\Lambda$ . Тогда при выполнении (14) ВПС можно представить как  $\beta \approx F_n(h)F_s(h)$  [11, 13], где  $F_n(h) = P[\sup_{\lambda, v \in \Lambda_n} M(\lambda, v) < h]$ .

$F_n(h) = P[\sup_{\lambda, v \in \Lambda_n} M(\lambda, v) < h]$  — функция распределения абсолютных максимумов функционала (5) на шумовой и сигнальной подобластях. Из формул (6), (7) следует, что вероятностные характеристики функционала (5) при  $\lambda, v \in \Lambda_n$  такие же, как и при отсутствии сигнала в наблюдаемых данных.

Поэтому при выполнении (14)

$$\begin{aligned} F_n(h) &= P[\sup_{\lambda, v \in \Lambda_n} N_0(\lambda, v) < h - A_0] \approx \\ &\approx P[\sup_{\lambda, v \in \Lambda_n} N_0(\lambda, v) < h - A_0] \equiv F_N(u), \end{aligned} \quad (19)$$

где  $u = (h - A_0)/\sqrt{D_0}$ , а функция  $F_N(u)$  определяется согласно (17).

Найдем вероятность  $F_s(h)$ . Из формул (6), (7) следует, что у регулярной составляющей  $S_1(\lambda, v)$  и корреляционной функции  $K_1(\lambda_1, v_1, \lambda_2, v_2)$  шумовой составляющей  $N_1(\lambda, v)$  не существует вторых производных в точке  $(\lambda_0, v_0)$ . Это не позволяет использовать методику, развитую в [10, 13] для определения вероятности  $F_s(h)$ . Поскольку регулярная составляющая  $S_1(\lambda, v)$  достигает абсолютного максимума при  $\lambda = \lambda_0, v = v_0$ , а реализации шумовой составляющей  $N_1(\lambda, v)$  непрерывны с вероят-

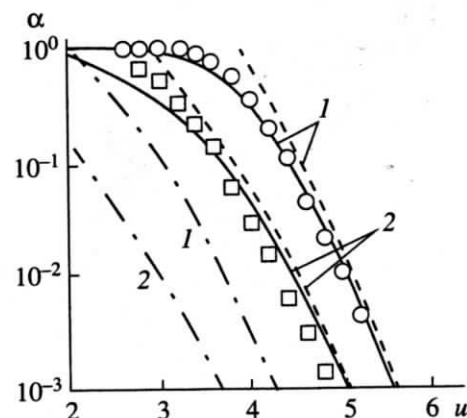


Рис. 1. Аппроксимации вероятности ложной тревоги.

ностью единица, то при  $\lambda, v \in \Lambda_s$  и выполнении условия

$$z^2 \gg 1 \quad (20)$$

абсолютный максимум функционала  $M(\lambda, v)$  расположен в малой окрестности точки  $(\lambda_0, v_0)$  [11–13]. Далее будем полагать, что ОСШ (8) велико, т.е. выполняется условие (20). Тогда для расчета вероятности  $F_s(h)$  достаточно исследовать поведение составляющих  $S_1(\lambda, v)$  и  $N_1(\lambda, v)$  функционала (5) в малой окрестности точки  $(\lambda_0, v_0)$ .

При  $\delta = \max(|\eta - \eta_0|, |\kappa - \kappa_0|, |\kappa_j - \kappa_{j0}|, |\kappa_j - \kappa_{j0}|) \rightarrow 0, j = 1, 2$ , моменты (6), (7) функционала (5) допускают асимптотические представления:

$$S_1(\lambda, v) = S(\eta, \eta_0) + S(\kappa, \kappa_0) + A_0 + o(\delta), \quad (21)$$

$$S(t, t_0) = A \begin{cases} 1 - d|t - t_0| & \text{при } |t - t_0| < 1/d, \\ 0 & \text{при } |t - t_0| \geq 1/d, \end{cases} \quad (22)$$

$$\begin{aligned} K_1(\lambda_1, v_1, \lambda_2, v_2) &= B(\eta_1, \eta_2, \eta_0) + \\ &+ B(\kappa_1, \kappa_2, \kappa_0) + o(\delta), \end{aligned} \quad (23)$$

$$\begin{aligned} B(t_1, t_2, t_0) &= \\ &= D \begin{cases} 1 - \rho|t_1 - t_2| - \\ - \begin{cases} g \min(|t_1 - t_0|, |t_2 - t_0|), & (t_1 - t_0)(t_2 - t_0) \geq 0, \\ 0, & (t_1 - t_0)(t_2 - t_0) < 0 \end{cases} \\ \text{при } \max(|t_1 - t_2|, |t_1 - t_0|, |t_2 - t_0|) < 1, \\ 0 \text{ при } \max(|t_1 - t_2|, |t_1 - t_0|, |t_2 - t_0|) \geq 1, \end{cases} \end{aligned} \quad (24)$$

$$A = A_1/2, \quad D = (D_0 + D_1)/2,$$

$$g = 2D_1/(D_0 + D_1); \quad d = 2; \quad \rho = 2.$$

Обозначим  $r_1(\eta), r_2(\kappa)$  статистически не зависимые гауссовские случайные процессы с математическими ожиданиями  $S(\eta, \eta_0), S(\kappa, \kappa_0)$  (22) и с корреляционными функциями  $B(\eta_1, \eta_2, \eta_0),$

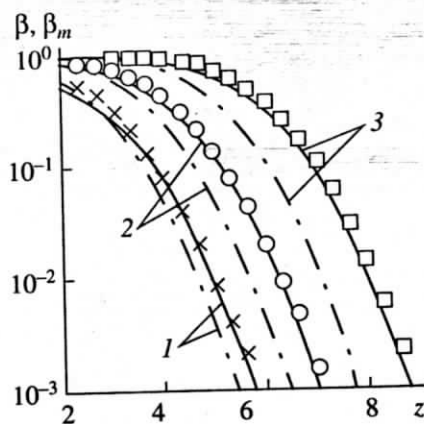


Рис. 2. Аппроксимации вероятности пропуска сигнала.

$B(\kappa_1, \kappa_2, \kappa_0)$  (24) соответственно. Из выражений (21), (23) при учете асимптотически (при  $\mu \rightarrow \infty$ ) гауссовского характера случайного поля  $M(\lambda, v)$  следует, что статистические характеристики случайных полей  $M(\lambda, v)$  и  $r_1(\lambda/\tau) + r_2(v/\Omega)$  асимптотически совпадают в малой окрестности точки  $(\lambda_0, v_0)$ . Тогда при выполнении (3), (20) имеем

$$\begin{aligned} F_s(h) &\approx P\left[\sup_{\eta \in [\eta_0 - 1; \eta_0 + 1]} r_1(\eta) + \right. \\ &+ \left. \sup_{\kappa \in [\kappa_0 - 1; \kappa_0 + 1]} r_2(\kappa) < h - A_0\right] = \\ &= \int_{-\infty}^{\infty} F(u \sqrt{D_0/D} - x) W(x) dx, \end{aligned} \quad (25)$$

где  $u = (h - A_0)/\sqrt{D_0}$ ;  $F(x) = P\left[\sup_{\eta \in [\eta_0 - 1; \eta_0 + 1]} r_1(\eta)/\sqrt{D} < x\right] = P\left[\sup_{\kappa \in [\kappa_0 - 1; \kappa_0 + 1]} r_2(\kappa)/\sqrt{D} < x\right]$  – функции распределения абсолютных максимумов нормированных случайных процессов  $r_1(\eta)/\sqrt{D}$  и  $r_2(\kappa)/\sqrt{D}$ ;  $W(x) = dF(x)/dx$  – соответствующая плотность вероятности. Воспользовавшись при выполнении (3), (20) методом локально-марковской аппроксимации [11, 13] и решая первое и второе уравнения Фоккера–Планка–Колмогорова [7, 12] при соответствующих граничных и начальных условиях, находим

$$\begin{aligned} F(x) &= \Phi(x - z/\sqrt{2}) - \\ &- 2 \exp[\psi^2 z^2/4 + \psi z(z - \sqrt{2}x)/2] \Phi[x - z(1 + \psi)/\sqrt{2}] + \\ &+ \exp[\psi^2 z^2 + \psi z(z - \sqrt{2}x)] \Phi[x - z(1 + 2\psi)/\sqrt{2}], \quad (26) \\ W(x) &= \sqrt{2}\psi z \exp[\psi z^2(2 + \psi)/2] \times \\ &\times \{ \exp(-\psi z x/\sqrt{2}) \Phi[x - z(1 + \psi)/\sqrt{2}] - \\ &- \exp[3\psi^2 z^2/4 + \psi z(z - 2\sqrt{2}x)/2] \times \\ &\times \Phi[x - z(1 + 2\psi)/\sqrt{2}], \end{aligned}$$

где  $\psi = 2d/(2\rho - g) = 2(1 + q)^2/[1 + (1 + q)^2]$ . Точность выражений (26) возрастает с увеличением  $z$  и  $\mu$ .

Таким образом, ВПС  $\beta$  при обнаружении радиоимпульса (1) с неизвестными временем прихода и центральной частотой можно представить в виде

$$\begin{aligned} \beta &\approx F_N(u) F_s(h) = \\ &= F_N(u) \int_{-\infty}^{\infty} F(u \sqrt{D_0/D} - x) W(x) dx, \end{aligned} \quad (27)$$

где функции  $F_N(u)$ ,  $F(x)$  и  $W(x)$  определяются из (17), (26). Точность выражения (27) возрастает с увеличением  $\mu$ ,  $z$ ,  $m_\eta$  и  $m_\kappa$ . При этом, чем меньше значения принимает ВПС  $\beta$ , тем больше должен быть параметр  $\mu$ .

Как отмечено выше, в [5, 15] для расчета характеристик обнаружения используется методика, основанная на замене непрерывной функции (5) ее дискретными значениями. Воспользовавшись этой методикой, получаем приближенное выражение для ВПС при обнаружении сигнала (1) с неизвестными временем прихода и частотой:

$$\beta_m \approx (1 - \alpha_0)^{m-1} \beta_0. \quad (28)$$

Здесь  $\beta_0 = \Phi[u/(1 + q) - z]$  – ВПС при обнаружении сигнала (1) с априори известными параметрами. Анализируя выражения (27) и (28), видим, что они дают существенно различные значения ВПС. При этом формула (27) является асимптотически точной, а погрешность выражения (28) не известна.

На рис. 2 показаны зависимости ВПС от ОСШ  $z$ , рассчитанные по формуле (27) с учетом (17), (26) (сплошные линии) и по формуле (28) (штрих-пунктирные линии) при  $q = 1$  (кривые 1),  $q = \sqrt{2} - 1 \approx 0.414$  (кривые 2) и  $q = 0.001$  (кривые 3). Зависимости получены при  $m_\eta = m_\kappa = 10$  и фиксированном пороге  $u$ , рассчитанном для случая  $\alpha = 10^{-4}$  по формулам (9), (17) для сплошных кривых и по формуле (10) для штрихпунктирных кривых. Из рис. 2 видно, что формула (28) дает заниженные значения для ВПС по сравнению с (27), особенно при малых значениях  $q = \gamma/N_0$ . При этом точность формулы (27) возрастает с увеличением  $m_\eta$ ,  $m_\kappa$  и  $z$ , а поведение погрешности формулы (28) неизвестно.

#### 4. СРАВНИТЕЛЬНЫЙ АНАЛИЗ ЭФФЕКТИВНОСТИ ОБНАРУЖЕНИЯ

Полученные выражения для вероятностей ошибок обнаружения разрывного случайного радиоимпульса позволяют определить потери в эффективности обнаружения сигнала вследствие назначения его времени прихода  $\lambda_0$  и центральной частоты  $v_0$ . Характеристики МП-обнаружения разрывного

сигнала (1) с неизвестным временем прихода и известной частотой определяются как [4]

$$\begin{aligned} \alpha &= 1 - \exp[-m_\eta u \exp(-u^2/2)/\sqrt{2\pi}] \text{ при } u \geq 1, \\ \alpha &= 1 \text{ при } u < 1, \\ \beta &= (1 - \alpha)\{\Phi(u/\sigma - z) - \\ &- 2 \exp[\psi^2 z^2/2 + \psi z(z - u/\sigma)] \times \\ &\times \Phi[u/\sigma - z(1 + \psi)] + \\ &+ \exp[2\psi^2 z^2 + 2\psi z(z - u/\sigma)]\Phi[u/\sigma - z(1 + 2\psi)]\}, \end{aligned} \quad (29)$$

где  $\sigma = 1 + q$ . Если в (29) заменим  $m_\eta$  на  $m_\kappa$ , то получим характеристики МП-обнаружения сигнала (1) с неизвестной центральной частотой и известным временем прихода. При априори известных параметрах сигнала характеристики его обнаружения  $\alpha = \alpha_0$ ,  $\beta = \beta_0$ .

На рис. 3 сплошными линиями представлена зависимость ВПС  $\beta$  от величины  $q = \gamma/N_0$  при обнаружении по критерию Неймана–Пирсона [1, 2] с порогом, соответствующим фиксированной ВЛТ  $\alpha = 10^{-4}$ . Там же штриховыми линиями показана зависимость средней вероятности ошибки  $P_{\text{ош}} = (\alpha + \beta)/2$  от  $q$  при равных априорных вероятностях гипотез  $H_i$  и обнаружении по критерию идеального наблюдателя с порогом, минимизирующим вероятность  $P_{\text{ош}}$  [1, 2].

На рис. 4 сплошными линиями представлена зависимость ВЛТ  $\alpha$  от нормированного порога  $u$  при МП-обнаружении сигнала (1). Расчеты проведены при  $\mu = 100$ ,  $m_\eta = m_\kappa = 100$ . На рис. 3, 4 кривые 1 рассчитаны по формулам (9), (17), (27) и соответствуют случаю неизвестных параметров  $\lambda_0$  и  $v_0$ ; кривые 2 – по формулам (29) для случаев неизвестного параметра  $\lambda_0$  и известного  $v_0$  или известного  $\lambda_0$  и неизвестного  $v_0$ ; кривые 3 – для случая априори известных параметров сигнала.

Из рис. 3, 4 следует, что при неизвестных времени прихода и частоте разрывного случайного радиоимпульса вероятности ошибок его обнаружения существенно возрастают. Выражения (17), (27) в отличие от результатов [4, 9] позволяют при расчете характеристик обнаружения учесть априорную неопределенность как относительно времени прихода, так и относительно частоты принимаемого радиоимпульса.

Сравним теперь вероятности ошибок МП-обнаружения разрывного радиоимпульса (1) и регулярного импульса  $s(t) = \xi(t)f(t - \lambda_0)/t$  [10] с колокольной модулирующей функцией  $f(x) = \exp(-\pi x^2/2)$  и лоренцевской спектральной плотностью  $G(\omega) = (\gamma/2)\{g[(v_0 - \omega)/\Omega] + g[(v_0 + \omega)/\Omega]\}$ ,  $g(x) = [1 + (\pi x/2)^2]^{-1}$ . Будем считать, что время прихода и центральная частота разрывного и регулярного радиосигналов не известны.

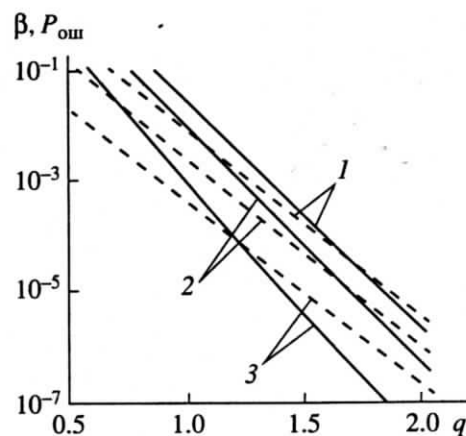


Рис. 3. Средняя вероятность ошибки и вероятность пропуска при обнаружении разрывного сигнала.

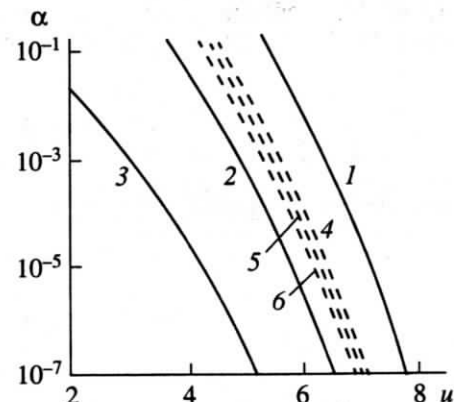


Рис. 4. Вероятность ложной тревоги при обнаружении разрывного и регулярного сигналов.

На рис. 4 показана зависимость ВЛТ  $\alpha$  от порога  $u$  при обнаружении разрывного (сплошная кривая 1) и регулярного (штриховые кривые) импульсов при  $m_\eta = m_\kappa = 100$ . Кривые 4–6 соответствуют  $q = 0.1, 2, 10$ .

На рис. 5 показана предельная (при  $q \ll 1$ ) зависимость ВПС  $\beta$  от ОСШ  $z$  (8) при обнаружении разрывного (сплошная кривая) и регулярного (штриховая кривая) радиоимпульсов по критерию Неймана–Пирсона с фиксированной ВЛТ  $\alpha = 10^{-4}$ . Там же представлена зависимость средней вероятности ошибки  $P_{\text{ош}} = (\alpha + \beta)/2$  от  $z$  при обнаружении разрывного (штрихпунктирная кривая) и регулярного сигналов (пунктирная кривая) по критерию идеального наблюдателя. Кривые рассчитаны при  $m_\eta = m_\kappa = 100$ .

Из рис. 4, 5 видно, что характеристики обнаружения разрывного (1) и регулярного [10] случайных сигналов существенно различаются. При этом незнание времени прихода и частоты снижает

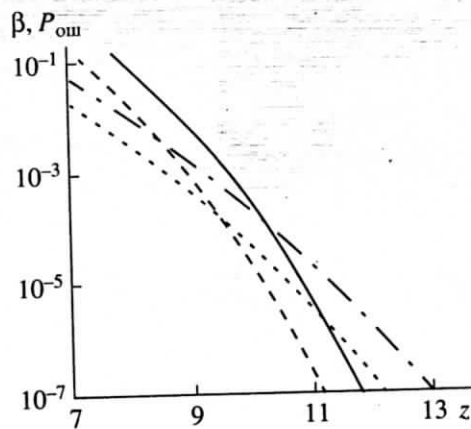


Рис. 5. Средняя вероятность ошибки и вероятность пропуска разрывного и регулярного сигналов.

ет эффективность обнаружения разрывного импульса в большей степени, чем регулярного.

## 5. РЕЗУЛЬТАТЫ СТАТИСТИЧЕСКОГО МОДЕЛИРОВАНИЯ

С целью установления границ применимости асимптотических точных формул (17), (18) для функции распределения  $F_{\eta}(u)$  и ВЛТ  $\alpha$  (9) выполнено статистическое моделирование на ЭВМ величины абсолютного максимума однородного центрированного гауссова случайного поля  $r(\eta, \kappa)$  в пределах области  $\Pi$ , задаваемой условиями  $\eta \in [0; m_\eta]$ ,  $\kappa \in [0; m_\kappa]$ . В процессе моделирования с шагом  $\Delta t = 0.01$  формировались отсчеты

$$R_{ij} = r_0(i\Delta t, j\Delta t) = \frac{1}{\Delta t^2} \sum_{l=i}^{i+\Delta_0 j + \Delta_0} \sum_{k=j}^{\infty} \zeta_{lk}, \quad (30)$$

$$\Delta_0 = \{1/\Delta t\} - 1,$$

случайного поля  $r_0(\eta, \kappa)$ , где  $\zeta_{lk}$  – последовательность независимых гауссовых случайных чисел (НГСЧ) с нулевым математическим ожиданием и единичной дисперсией;  $\{x\}$  – целая часть числа  $x$ . При этом среднеквадратическая погрешность  $\epsilon_0 = \sqrt{2[1 - R_0(\Delta t/2, \Delta t/2)]}$  ступенчатой аппроксимации (30) непрерывных реализаций поля не превышает 0.15. Величину  $r_m$  абсолютного максимума поля в пределах области  $\Pi$  определяли как наибольшее значение  $R_{ij}$  (30) для всех  $i = 1, \{m_\eta/\Delta t\}$ ,  $j = 1, \{m_\kappa/\Delta t\}$ . На основе обработки не менее  $10^4$  реализаций случайного поля вычисляли экспериментальные значения ВЛТ (9) для различных порогов и как относительные частоты превышения порогов величиной  $r_m$ .

На рис. 1 кружочками показаны экспериментальные значения ВЛТ, полученные при  $m_\eta = m_\kappa =$

= 10, а прямоугольниками – при  $m_\eta = m_\kappa = 3$ . При этом с вероятностью 0.95 границы доверительных интервалов отклоняются от экспериментальных значений ВЛТ не более чем на 20% при  $\alpha \geq 0.01$  и не более чем на 40% при  $\alpha \geq 0.003$ . Из рис. 1 и результатов моделирования следует, что формулы (9), (17) удовлетворительно аппроксимируют экспериментальные данные уже при  $m_\eta \geq 3$ ,  $m_\kappa \geq 3$ , формула (18) – при  $m_\eta \geq 3$ ,  $m_\kappa \geq 3$ ,  $\alpha \leq 0.1-0.3$ , а формула (10) дает существенно заниженные значения ВЛТ. При этом точность формул (17), (18) возрастает с увеличением  $i$  (уменьшением  $\alpha$ ) и с ростом  $m_\eta$  и  $m_\kappa$ , а поведение погрешности формулы (10) не известно.

С целью установления границ применимости асимптотически точной формулы (27) для ВПС  $\beta$  выполнено статистическое моделирование на ЭВМ величины абсолютного максимума гауссова случайного поля  $r(\eta, \kappa)$  с математическим ожиданием  $S(\eta, \kappa) = m_S C(\eta, \eta_0) C(\kappa, \kappa_0)$  и корреляционной функцией  $K(\eta_1, \kappa_1, \eta_2, \kappa_2) = \langle [r(\eta_1, \kappa_1) - S(\eta_1, \kappa_1)][r(\eta_2, \kappa_2) - S(\eta_2, \kappa_2)] \rangle = C(\eta_1, \eta_2) C(\kappa_1, \kappa_2) + \sigma_S^2 R(\eta_1, \eta_2, \eta_0) R(\kappa_1, \kappa_2, \kappa_0)$ , где  $m_S = A_1 / \sqrt{D_0} = z \sqrt{2/(2-g)}$ ;  $\sigma_S^2 = D_1 / D_0 = g/(2-g)$ ;  $z$  определяется из (8), а  $g = 2q(2+q)/(1+q)^2$  (24). Максимум поля фиксировали в пределах области значений  $\Pi$  при  $m_\eta > 2$ ,  $m_\kappa > 2$ ,  $\eta_0 = m_\eta/2$  и  $\kappa_0 = m_\kappa/2$ . В процессе моделирования с шагом  $\Delta t = 0.01$  формировались отсчеты

$$\begin{aligned} \Gamma_{ij} &= r(i\Delta t, j\Delta t) = R_{ij} + \\ &+ \frac{1}{\Delta t^2} \sum_{l=\max(i, \Delta_{\eta_1})}^{\min(i+\Delta_0, \Delta_{\eta_2})} \sum_{k=\max(j, \Delta_{\kappa_1})}^{\min(j+\Delta_0, \Delta_{\kappa_2})} [\sigma_S \theta_{lk} + m_S], \end{aligned} \quad (31)$$

случайного поля  $r(\eta, \kappa)$ , где  $\theta_{lk}$  – последовательность НГСЧ с нулевым математическим ожиданием и единичной дисперсией;  $\Delta_{\eta_1} = \{(m_\eta - 1)/2\Delta t\}$ ;  $\Delta_{\eta_2} = \{(m_\eta + 1)/2\Delta t\}$ ;  $\Delta_{\kappa_1} = \{(m_\kappa - 1)/2\Delta t\}$ ;  $\Delta_{\kappa_2} = \{(m_\kappa + 1)/2\Delta t\}$ , а отсчеты  $R_{ij}$  определяются из (30). При этом относительная погрешность  $\epsilon_m = [S(\eta_0, \kappa_0) - S(\eta_0 + \Delta t/2, \kappa_0 + \Delta t/2)]/S(\eta_0, \kappa_0)$  ступенчатой аппроксимации регулярной составляющей поля  $r(\eta, \kappa)$  не превышает 0.01, а среднеквадратическая погрешность  $\epsilon_\delta = (2[1 - K(\eta_0, \kappa_0, \eta_0 + \Delta t/2, \kappa_0 + \Delta t/2)]/K(\eta_0, \kappa_0, \eta_0, \kappa_0))^{1/2}$  ступенчатой аппроксимации случайной составляющей поля не превышает 0.15. Величину  $\Gamma_m$  абсолютного максимума поля  $r(\eta, \kappa)$  определяли как наибольшее значение  $\Gamma_{ij}$  (31) для всех  $i = 1, \{m_\eta/(\Delta t)\}$ ,  $j = 1, \{m_\kappa/(\Delta t)\}$ . На основе обработки не менее  $10^4$  реализаций случайного поля  $r(\eta, \kappa)$  вычисляли экспериментальные значения ВПС  $\beta$  для различных порогов и как относительные частоты непревышения порогов величиной  $\Gamma_m$ .

На рис. 2 приведены экспериментальные значения ВПС, полученные при моделировании с параметрами  $m_\eta = m_\kappa = 10$ ,  $q = 0.001$  (прямоугольники),  $q = \sqrt{2} - 1$  (кружочки) и  $q = 1$  (крестики) для фиксированного порога  $\alpha$ , вычисляемого по формулам (9), (17) при  $\alpha = 10^{-4}$ . При этом с вероятностью 0.95 границы доверительных интервалов отклоняются от экспериментальных значений ВПС не более чем на 40% при  $\beta \geq 0.003$ . Из рис. 2 и результатов моделирования следует, что асимптотическая формула (27) с учетом (17), (26) удовлетворительно аппроксимирует экспериментальные данные уже при  $m_\eta \geq 3$ ,  $m_\kappa \geq 3$ ,  $z \geq 2$ , а формула (28) дает заниженные значения ВПС, особенно при малых значениях  $q$ . При этом точность формулы (27) возрастает с увеличением  $m_\eta$ ,  $m_\kappa$  и  $z$ , а поведение погрешности формулы (28) не известно.

Работа выполнена при частичной грантовке Российской фонда фундаментальных исследований (проект № 98-01-00090).

#### СПИСОК ЛИТЕРАТУРЫ

1. Сосулин Ю.Г. Теоретические основы радиолокации и радионавигации. М.: Радио и связь, 1992.
2. Радиотехнические системы / Под ред. Казаринова Ю.М. М.: Высш. шк., 1990.
3. Ван Трис Г. Теория обнаружения, оценок и модуляции. Т. 3. М.: Сов. радио, 1977.
4. Трифонов А.П., Захаров А.В. // Изв. вузов. Радиоэлектроника. 1986. Т. 29. № 4. С. 36.
5. Бакут П.А., Большаков И.А., Герасимов Б.М. и др. // Вопросы статистической теории радиолокации. Т. 1 / Под ред. Тартаковского Г.П. М.: Сов. радио, 1963.
6. Кремер И.Я., Владимиров В.И., Карпухин В.И. Модулирующие помехи и прием радиосигналов. М.: Сов. радио, 1972.
7. Ахманов С.А., Дьяков Ю.Е., Чиркин А.С. Введение в статистическую радиофизику и оптику. М.: Наука, 1981.
8. Харкевич А.А. Передача сигналов, модулированных шумом. Избранные труды. Т. 2. М.: Наука, 1973. С. 524–529.
9. Трифонов А.П. // РЭ. 1980. Т. 25. № 4. С. 749.
10. Трифонов А.П., Парфенов В.И. // РЭ. 1998. Т. 44. № 8. С. 959.
11. Трифонов А.П., Шинаков Ю.С. Совместное различие сигналов и оценка их параметров на фоне помех. М.: Радио и связь, 1986.
12. Ибрагимов И.А., Хасьминский Р.З. Асимптотическая теория оценивания. М.: Наука, 1979.
13. Акимов П.С., Бакут П.А., Богданович В.А. и др. // Теория обнаружения сигналов / Под ред. Бакута П.А. М.: Радио и связь, 1984.
14. Беляев Ю.К. // Изв. АН СССР. Техническая кибернетика. 1970. № 2. С. 77.
15. Фалькович С.Е. Прием радиолокационных сигналов на фоне флуктуационных помех. М.: Сов. радио, 1961.
16. Qualls C., Watanabe H. // Trans. Amer. Math. Soc. 1973. V. 177. March. P. 155.
17. Беляев Ю.К., Питербарг В.И. // Докл. АН СССР. 1972. Т. 203. № 1. С. 9.